

10015539.053102

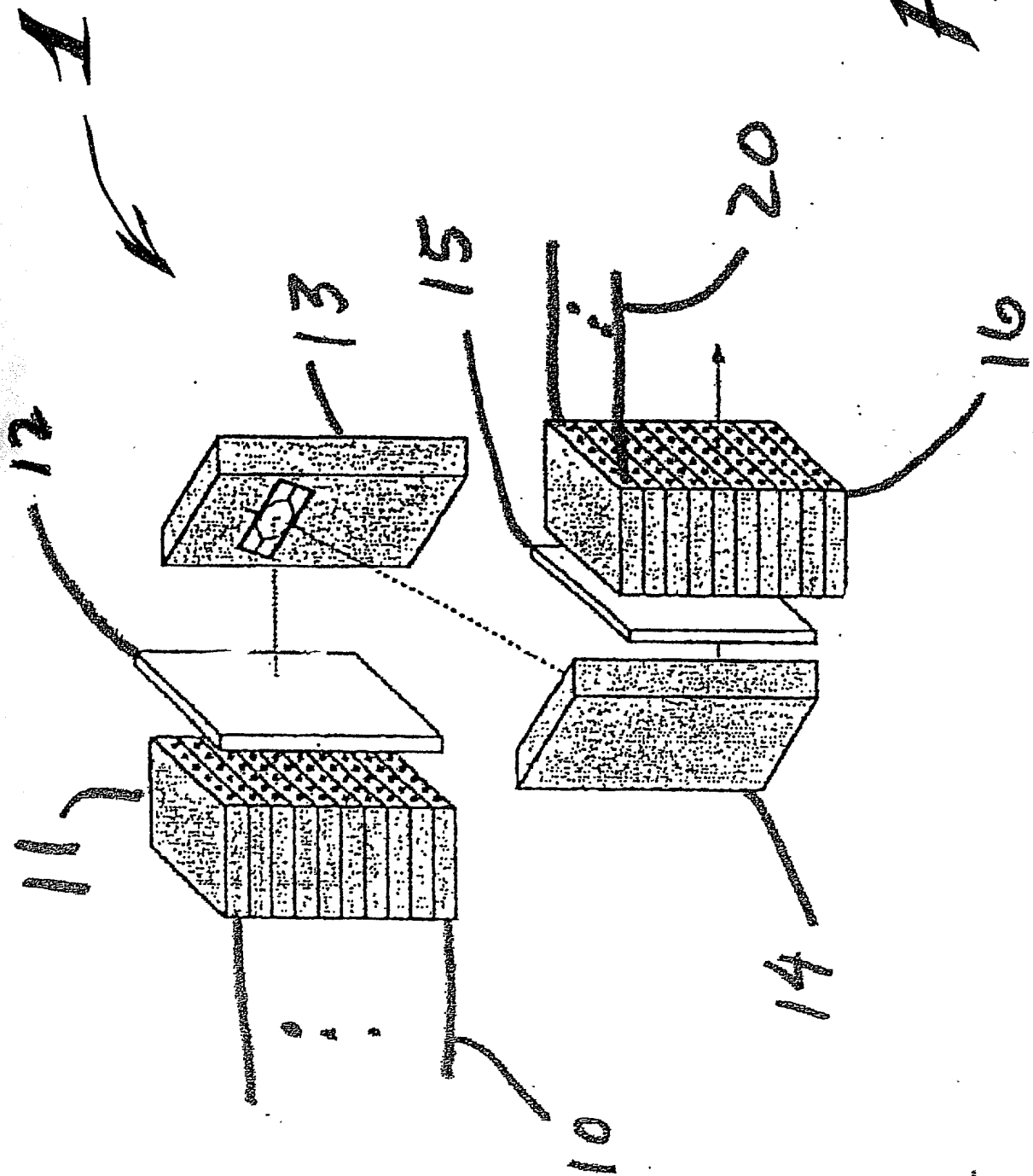
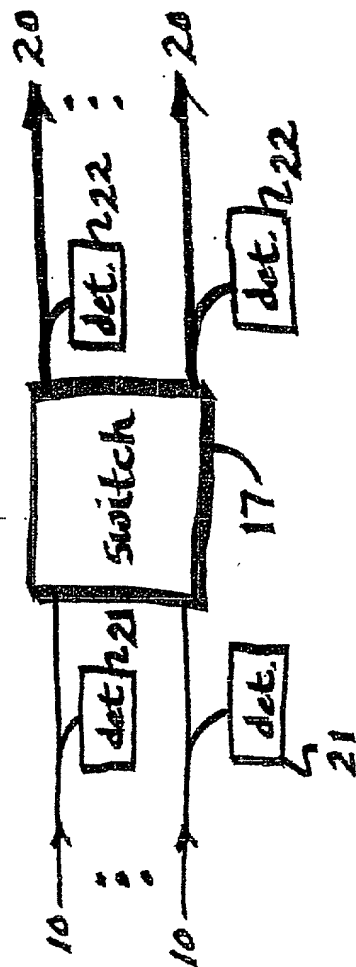


Fig. 1



Fig 2



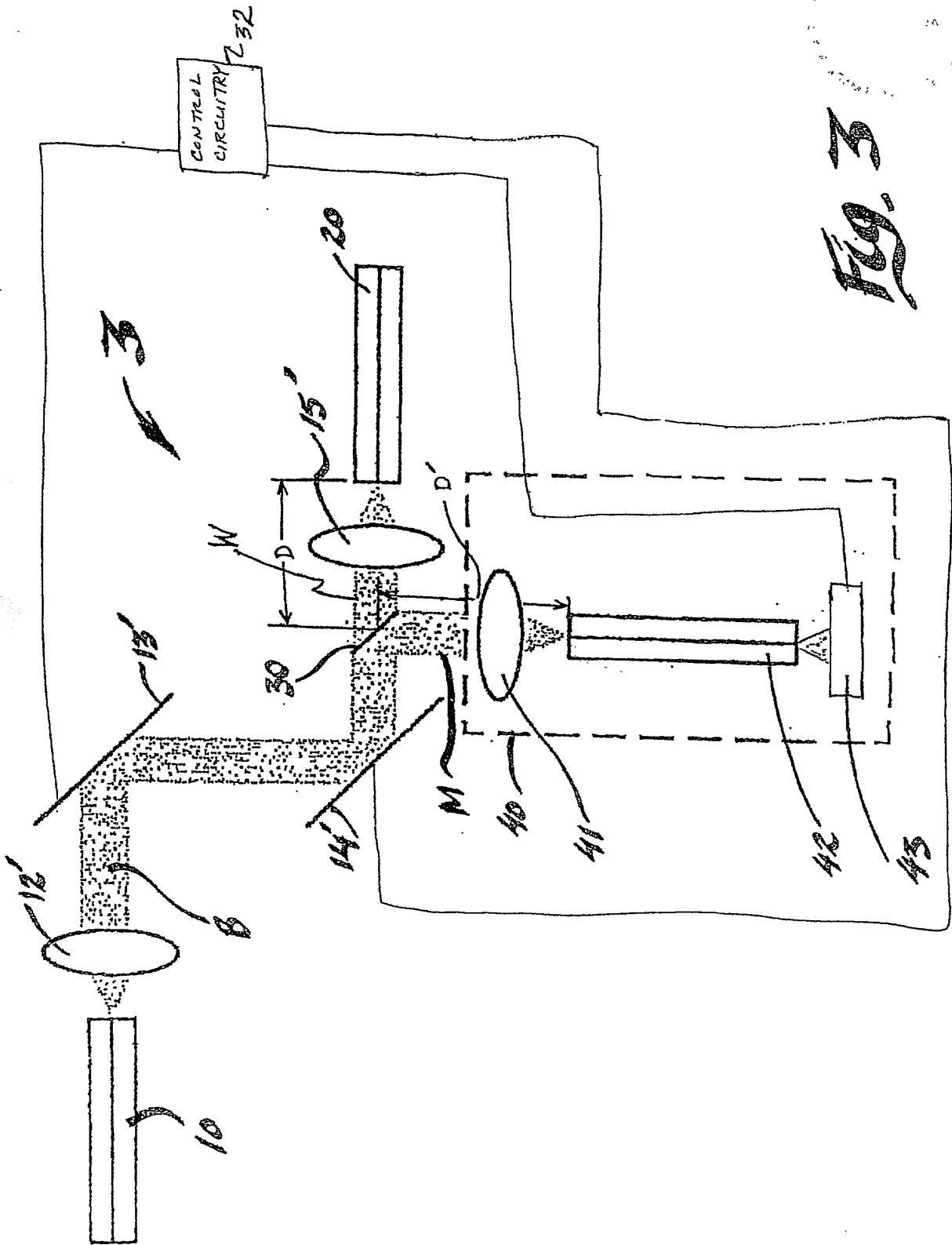


Fig. 3

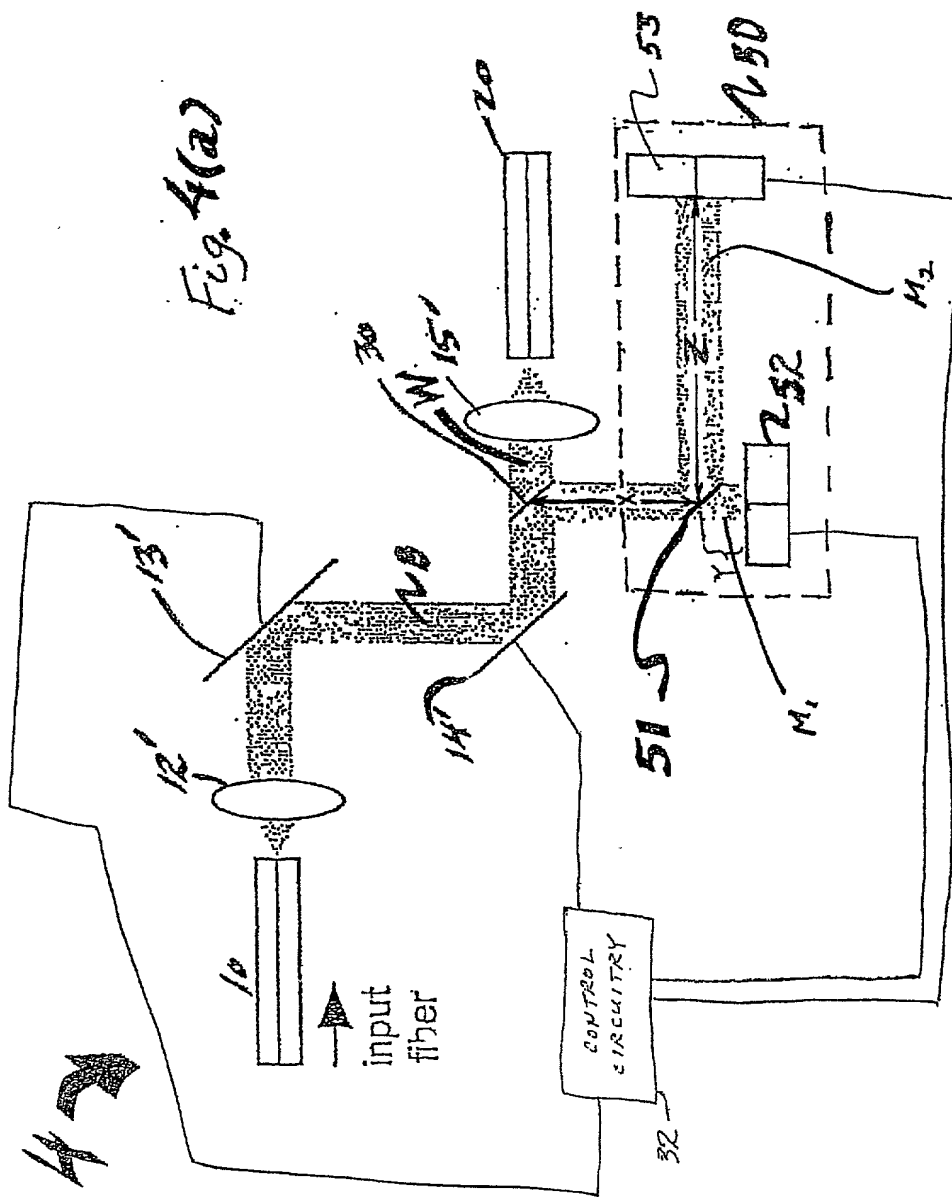






Fig. 6(a)

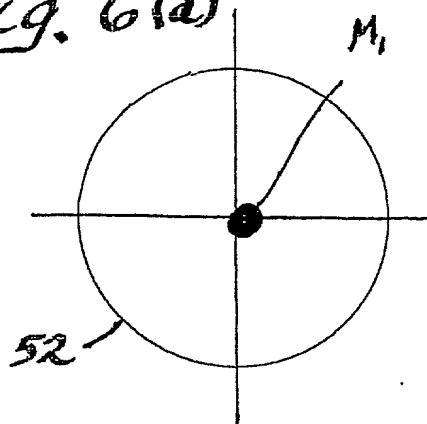


Fig. 6(b)

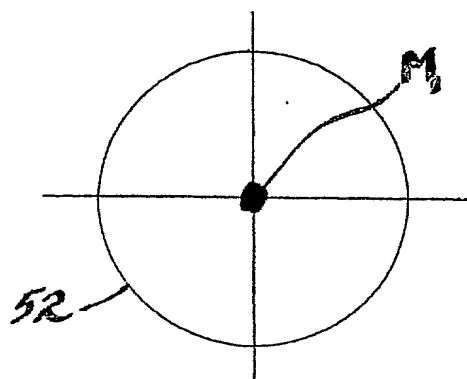
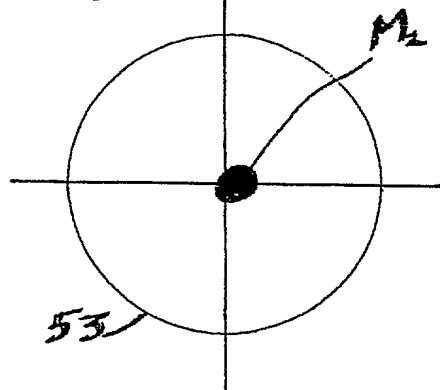


Fig. 6(c)

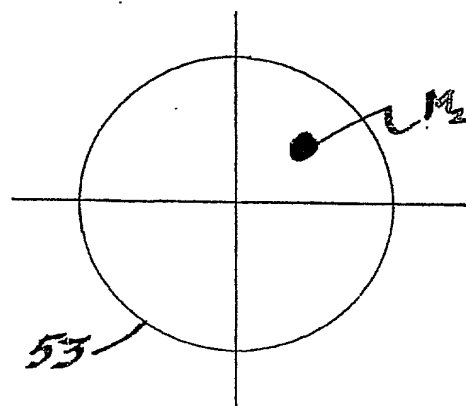


Fig. 6(d)

727

Fig. 7(b)

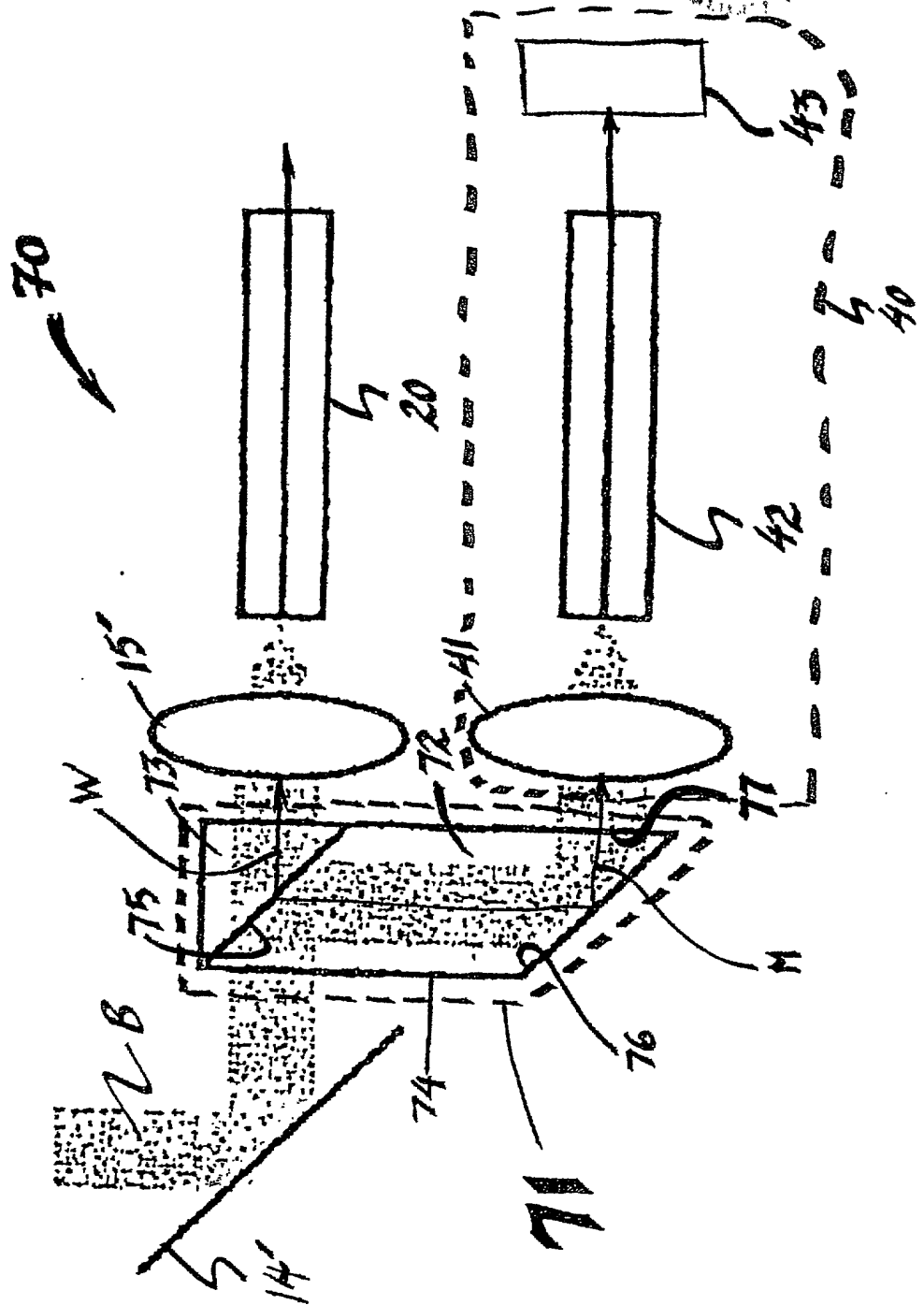




Fig. 7(c)

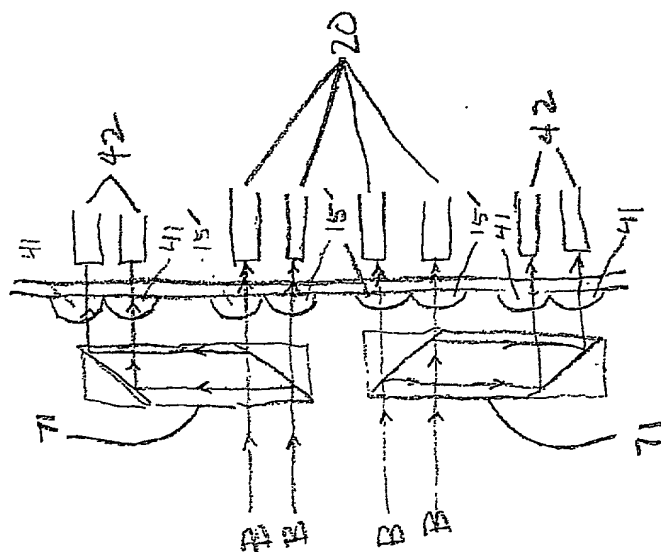
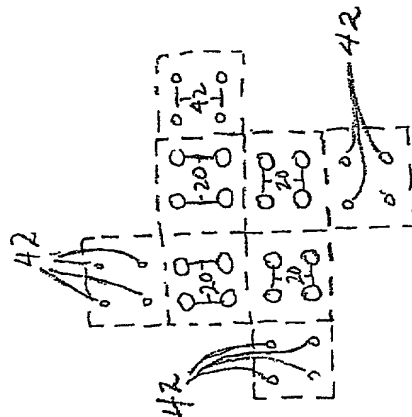


Fig. 7(d)



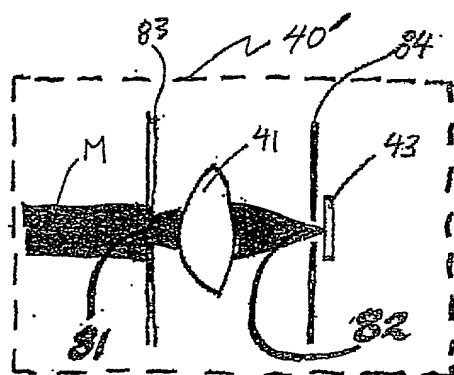


Fig. 8(a)

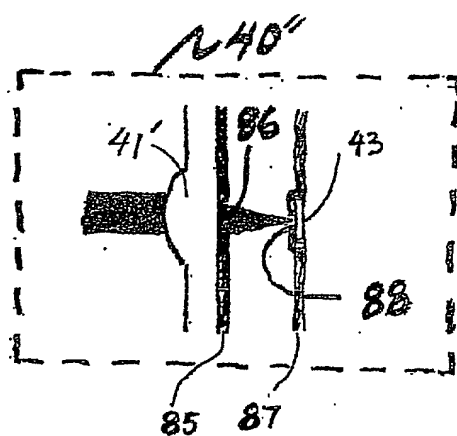


Fig. 8(b)

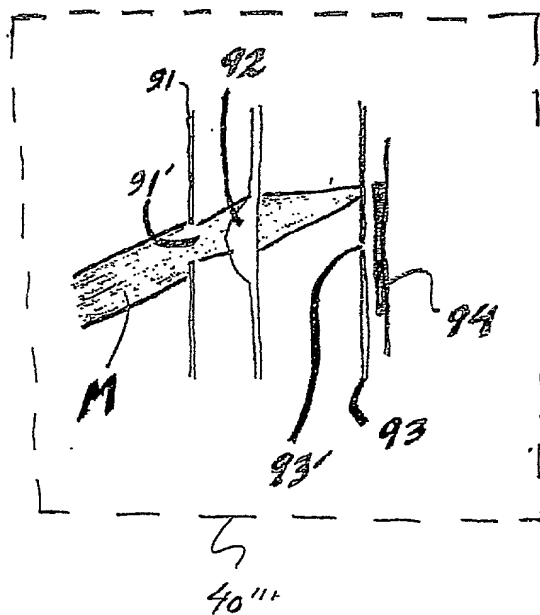
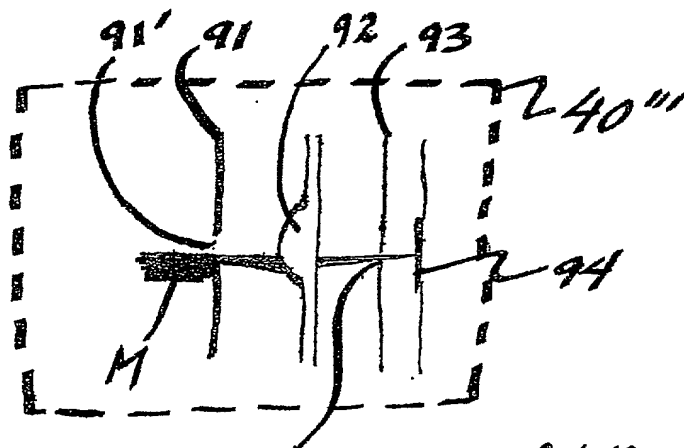


Fig. 8(c)



93' Fig. 8(d)

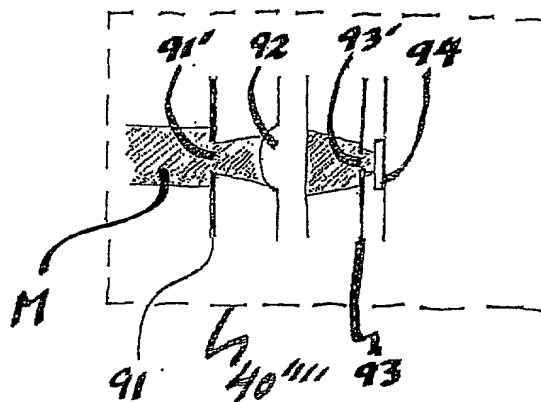


Fig 8(e)

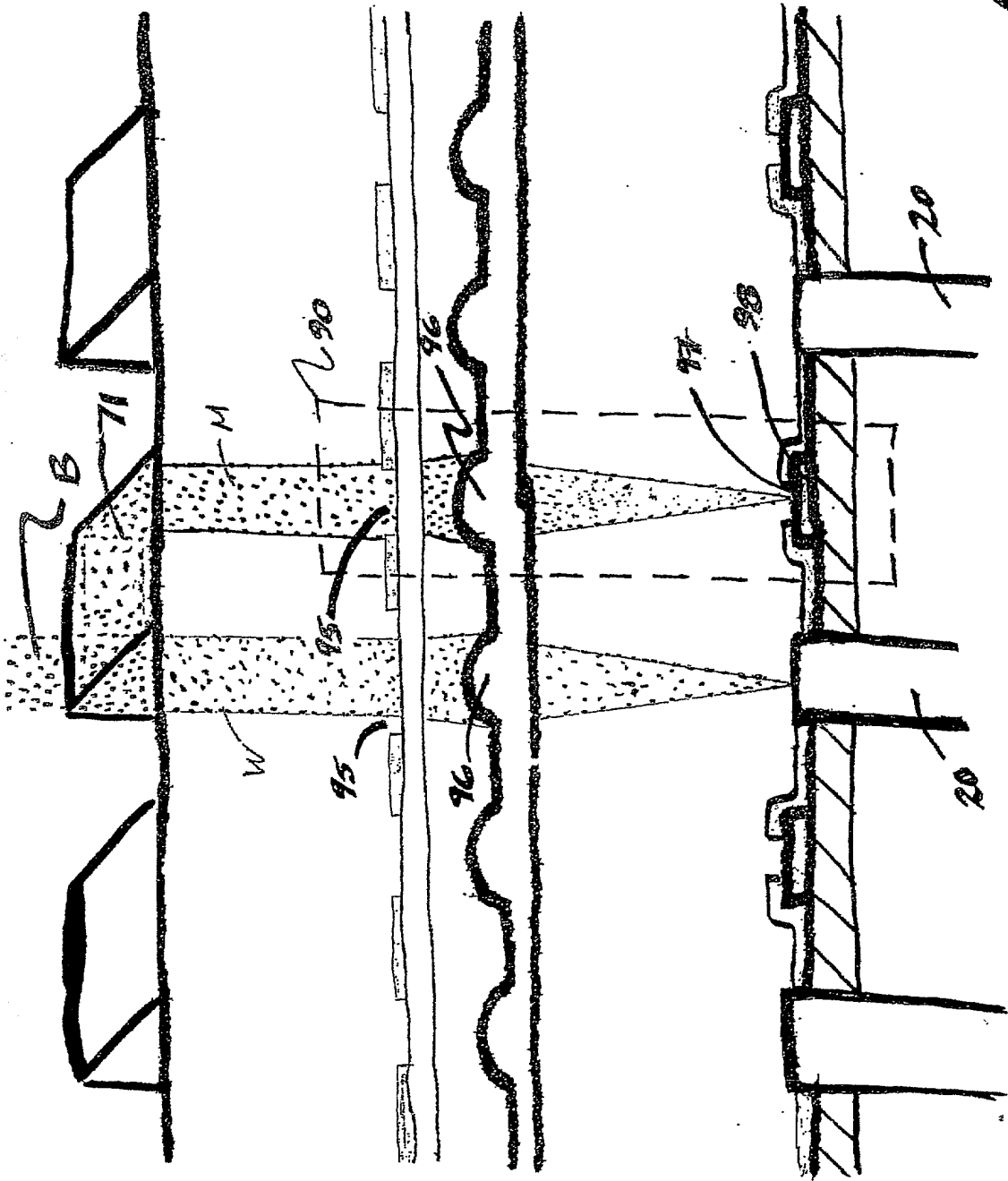


Fig. 9





Fig. 11(a)

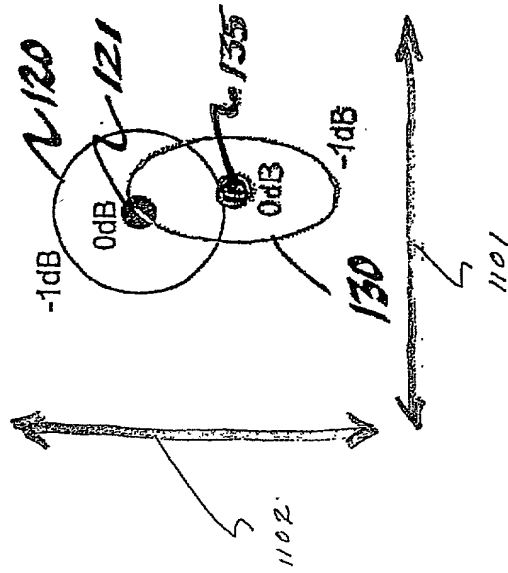
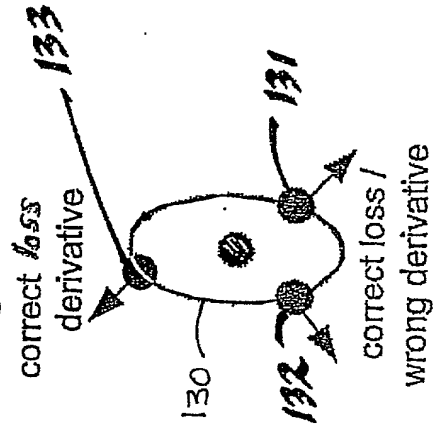


Fig. 11(b)



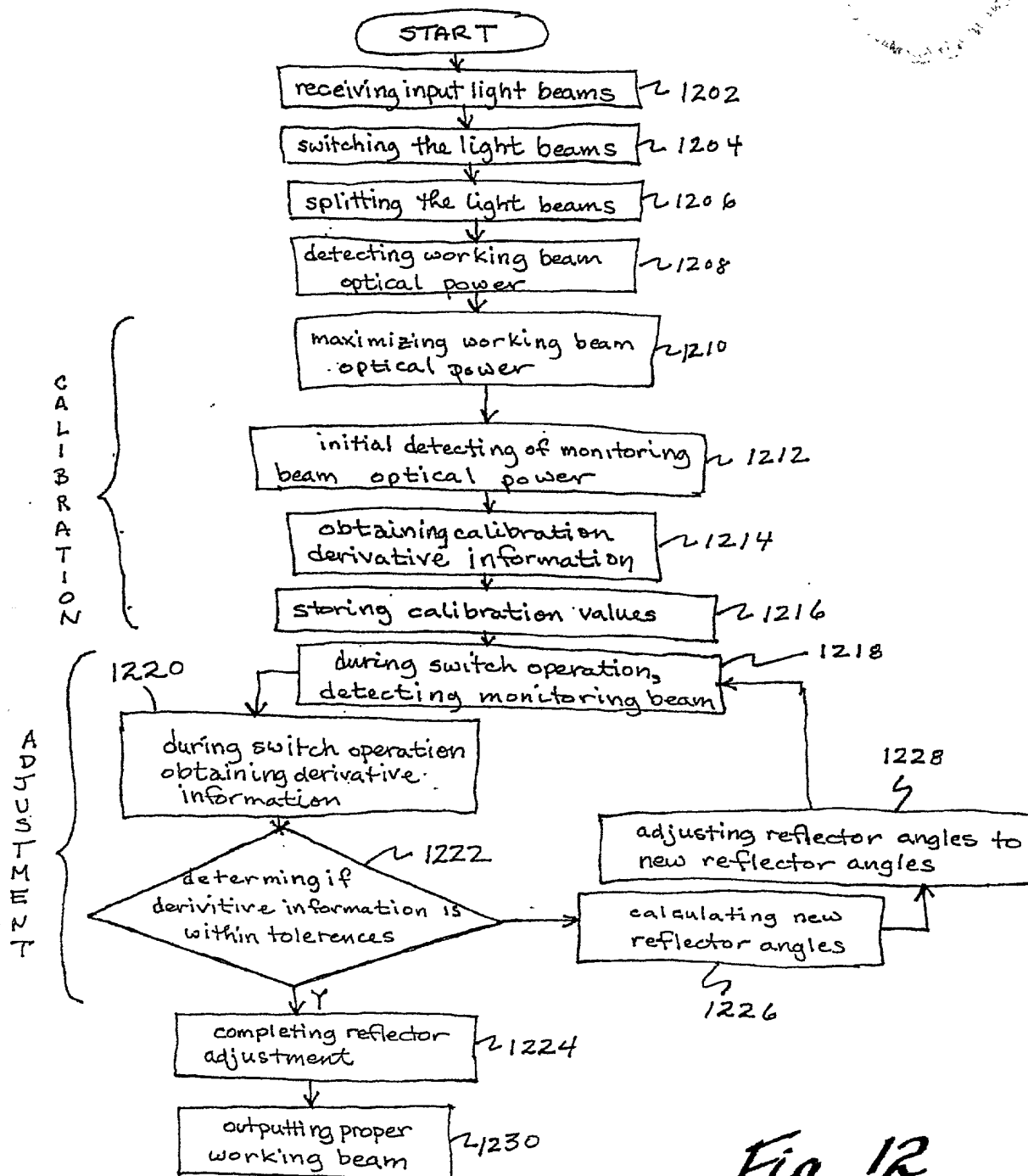


Fig. 12